

# ЯМР В ВОДОРОДНОЙ ПОДСИСТЕМЕ СОЕДИНЕНИЯ ВНEDРЕНИЯ $H_xGaSe$

*З. Д. Ковалюк, Т. П. Прокопчук, А. И. Середюк,  
К. Д. Товстюк, С. Я. Голуб, В. И. Витковская*

В работе [1] проведено исследование спектров протонного магнитного резонанса (ПМР) соединения внедрения  $H_xGaSe$ , которое позволило связать полученные спектры с состояниями водорода в вандерваальсовых щелях слоистого кристалла. Однако из-за ограниченности метода ЯМР высокого разрешения не удалось исследовать полный спектр примеси, в частности его широкую компоненту.

Целью настоящей работы является исследование примесных состояний в  $H_xGaSe$  методом твердотельной ЯМР спектроскопии. Выращивание и интеркалирование монокристаллов  $GaSe$  водородом проводилось по методике, описанной в [1]; для измерений использовались образцы с содержанием  $x \geq 2$ . Измерение проведено на модернизированном спектрометре РЯ-2310. Результаты измерений представлены на рис. 1, 2.

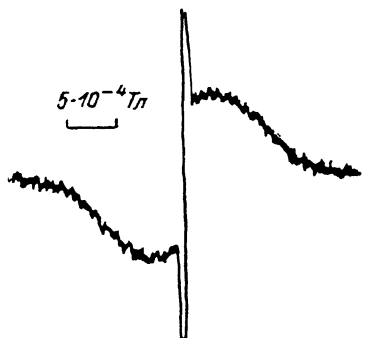


Рис. 1. Спектр ПМР соединения внедрения  $H_xGaSe$ .

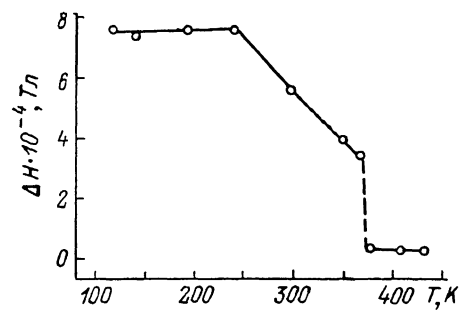
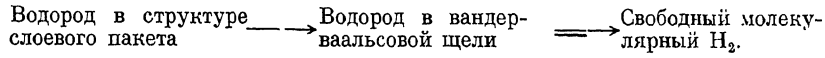


Рис. 2. Температурная зависимость полуширины «широкой» спектральной компоненты.

Как видно из рис. 1, в спектре ПМР интеркалатов можно выделить «узкую» и «широкую» компоненты, причем необходимо отметить, что подобные спектры наблюдаются лишь в температурном интервале 130—370 К, ниже которого исчезает «узкая», а выше — «широкая» компоненты. Форма «узкой» компоненты, а также ее температурный и концентрационный генезис подробно исследованы в работе [1], поэтому отметим здесь лишь то, что ее появление обусловлено состоянием внедренной примеси в вандерваальсовых промежутках структуры кристаллов. Форма «широкой» компоненты линии свидетельствует о том, что за ее возникновение ответственно «связанное» [1] состояние примеси. Второй момент наблюдаемой в  $H_xGaSe$  линии составляет 27 Гс<sup>2</sup> (при комнатной температуре). Такие значения второго момента характерны для гидридов переходных металлов [2, 3], в которых внедренный водород находится в тетраэдрических или октаэдрических междуузлиях базисной решетки. Подобно гидридам металлов при температуре 230 К на кривой (рис. 2) наблюдается излом, а при 370 К резкое сужение линии до ширины ее «узкой» компоненты. Следовательно, при электрохимическом интеркалировании селенида галлия водородом происходит не только межслоевое внедрение примеси, но и гидрирование слоевых пакетов  $GaSe$ . Подобно гидридам металлов при температуре 230 К происходит плавное сужение линии за счет включения реориентации атомов интеркалянта в слоевом пакете  $GaSe$  (энергия активации  $E_a = 11$  ккал/моль). При температуре 370 К происходит выход атомов интеркалянта из слоевых пакетов (резкое сужение линии) в объем

щели и его интенсивная деинтеркаляция из кристалла. Причем, как показало многократное циклирование вблизи температуры перехода, процесс выхода водорода из слоевого пакета в межслойное пространство обратим (без учета деинтеркаляции) — при снижении температуры до  $T = T_{kp}$  вновь наблюдается «широкая» компонента.

Следует отметить, что механизм сужения линии в интеркалатах отличается от последнего в гидридах металлов, в которых сужение связано лишь с реориентацией примеси и трансляционной диффузией по междуузлям [2, 3]. Термостимулированное деинтеркалирование водорода из  $H_xGaSe$  можно схематически представить



Необходимо отметить, что обратимость перехода между двумя первыми состояниями представляется неожиданной. Разработанная в [4] теория интеркалирования исключает подобное поведение примеси, что многократно подтверждалось экспериментально. Подобный результат можно объяснить лишь в предположении, что свободная энергия интеркалата в щели и в фазе гидрида отличается незначительно. Последнее представляется возможным, учитывая малые размеры интеркалянта и термодинамические характеристики процессов гидрирования в металлах [5].

Определение «связанное состояние» неоднозначно, поскольку включает две возможности: замещение водородом атомов в узлах базисной решетки и его междуузельное размещение. С целью определения типа размещения примеси в структуре слоя проведены рентгеноструктурные исследования интеркалаторов  $H_xGaSe$ . На рентгенограммах образцов со значительным содержанием водорода ( $x \geq 2$ ) в окрестности основных отражений зарегистрированы эффекты дополнительного рассеяния в виде размытых максимумов (тяжей), что свидетельствует о локальном искажении структуры. Кроме этого, особенностью дифракционной картины является наличие дополнительных линий. Фазовый анализ позволил отнести эти отражения за счет дифракции на решетке гексагонального селена, находящегося в образце в свободном состоянии, причем неравномерная интенсивность вдоль ряда линий свидетельствует о текстурированном выделении Se.

Полученный результат может спровоцировать предположение о том, что «широкая» компонента обусловлена исключительно состоянием водорода, замещающего селен в узлах решетки. В связи с этим проверялась гипотеза об образовании кластеров типа  $GaN$ , структурно родственных исходному  $GaSe$ . Проведен расчет интенсивности отражений при дифракции на таких кластерах, однако предполагаемые особенности спектров экспериментально не наблюдались. Кроме того, по оценке интенсивности отражений, содержание свободного селена составляет менее 10 ат.%, что не может объяснить сравнительно большой интенсивности «широкой» компоненты. Таким образом, основной вклад в «широкую» компоненту дает междуузельный водород подобно гидридам металлов.

#### Л и т е р а т у р а

- [1] Ковалюк З. Д., Прокопчук Т. П., Середюк А. И., Товстюк К. Д. ФТТ, 1987 т. 29, № 10, с. 2191—2193.
- [2] Плетнев Р. Н., Золотухина Л. В., Губанов В. А. ЯМР в соединениях переменного состава. М.: Наука, 1983. 166 с.
- [3] Габуда С. П., Лундин А. Г. Внутренняя подвижность в твердом теле. Новосибирск: Наука, 1986. 174 с.
- [4] Товстюк К. Д. Полупроводниковое материаловедение. Киев: Наукова думка, 1984. 264 с.
- [5] Маккей К. Водородные соединения металлов. М.: Мир, 1968. 244 с.